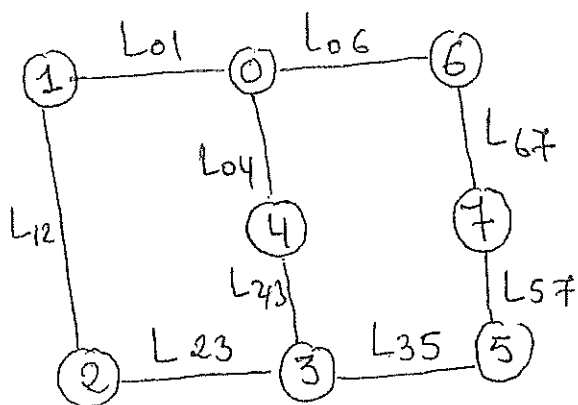


④

## B.1. Etude de l'exciteur

### B.1.1 liaisons



$L_{07}$ : glissière d'axe ( $K, \vec{Z}_0$ );

$L_{01}$ : pivot d'axe ( $O, \vec{Z}_0$ )

$L_{06}$ : pivot d'axe ( $F, \vec{Z}_6$ )

$L_{67}$ : héliciendale d'axe ( $E, \vec{X}_8$ )

$L_{57}$ : rotule de centre H

$L_{35}$ : pivot glissant d'axe ( $H, \vec{X}_5$ )

$L_{34}$ : pivot d'axe ( $E, \vec{Z}_3$ )

$L_{04}$ : pivot d'axe ( $O, \vec{Z}_0$ )

$L_{23}$ : pivot glissant d'axe ( $B, \vec{X}_2$ )

$L_{12}$ : pivot d'axe ( $A, \vec{Z}_1$ )

### B.1.2 Vecteurs rotation

$$\begin{aligned}\vec{\omega}_{1/0} &= \dot{\alpha} \vec{Z}_0; \quad \vec{\omega}_{2/0} = -\dot{\theta} \vec{Z}_0; \quad \vec{\omega}_{3/2} = \vec{0} \\ \vec{\omega}_{4/0} &= \dot{\varphi} \vec{Z}_0 \quad \vec{\omega}_{6/0} = \dot{\psi} \vec{X}_6 \quad \vec{\omega}_{7/0} = \vec{0}\end{aligned}$$

### B.1.3 Torseur cinématique

$$\left\{ \mathcal{V}_{6/7} \right\}_E = \left\{ \vec{\omega}_{6/7} \mid \vec{v}_{E \in 6/7} \right\}$$

$$\vec{\omega}_{6/7} = \vec{\omega}_{6/0} + \vec{\omega}_{0/7} = \dot{\psi} \vec{X}_6$$

$$\vec{v}_{E \in 6/7} = \vec{v}_{E \in 6/0} - \vec{v}_{E \in 7/0} = \vec{0} - \dot{\psi} \vec{X}_6 = \frac{\dot{\psi}}{2\pi} P$$

### B.1.4 Vitesse de $E \in 7 \%$ (°)

$$\vec{v}_{E \in 7/0} = \frac{d \vec{FE}}{dt} \Big|_{R_0} = -\dot{\psi} \vec{X}_6$$

### B.1.5 Nombre de roues

$$dx = \frac{P}{2\pi} d\psi \Rightarrow d - x(0) = \frac{P}{2\pi} \psi(d) = P_0 N$$

$$N = 14 \text{ tours}$$

### B.1.6 Chaîne cinématique de réglage

$$0 \cdot 6 \cdot 7 \cdot 5 \cdot 3 \cdot 4 \cdot 0$$

### B.1.7 classe équivalente

$$x = \text{cte} \Rightarrow \ddot{x} = 0 \text{ et } \dot{\psi} = 0$$

Cela conduit à :  $\vec{r}_{E/F_0} = \vec{0}$  et tous les points de 7

sont fixes par rapport à (0)

•  $\vec{r}_{G/F_0} = \vec{0}$  et tous les points

de (6) sont fixes par rapport à (0)

### B.1.8 liaison équivalente

$$\left\{ \begin{matrix} J_{3/5} \end{matrix} \right\}_H = \left\{ \begin{matrix} P_{35} \\ 0 \\ 0 \end{matrix} \middle| \begin{matrix} x_{35} \\ 0 \\ 0 \end{matrix} \right\} (\vec{x}_2, \vec{y}_2, \vec{z}_2)$$

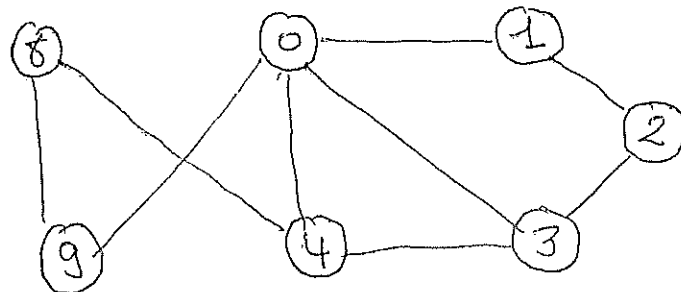
$$\left\{ \begin{matrix} J_{5/7} \end{matrix} \right\}_H = \left\{ \begin{matrix} P_{57} \\ q_{57} \\ r_{57} \end{matrix} \middle| \begin{matrix} 0 \\ 0 \\ 0 \end{matrix} \right\} (\vec{x}_2, \vec{y}_2, \vec{z}_2)$$

$$\left\{ \begin{matrix} J_{7/0} \end{matrix} \right\} = \left\{ \begin{matrix} 0 \\ 0 \\ 0 \end{matrix} \middle| \begin{matrix} 0 \\ 0 \\ 0 \end{matrix} \right\}$$

$$\left\{ \begin{matrix} J_{3/0} \end{matrix} \right\}_H = \left\{ \begin{matrix} J_{3/5} \end{matrix} \right\}_H + \left\{ \begin{matrix} J_{5/7} \end{matrix} \right\}_H + \left\{ \begin{matrix} J_{7/0} \end{matrix} \right\}_H = \left\{ \begin{matrix} P_{35} + P_{57} & x_{35} \\ q_{57} & 0 \\ r_{57} & 0 \end{matrix} \middle| \begin{matrix} 0 \\ 0 \end{matrix} \right\}$$

La liaison possède 4 degrés de liberté dans le système d'axe ( $H, \vec{x}_2, \vec{y}_2, \vec{z}_2$ ) (3 rotations + 1 translation suivant ( $H, \vec{x}_2$ )  $\Rightarrow$  linéaire annulaire d'axe ( $H, \vec{x}_2$ )

### B.1.9 graphe de liaison



### B.1.10 Fermeture de la chaîne 01230

$$\vec{OH} = \vec{OA} + \vec{AB} + \vec{BH}$$

$$(L_o - d) \vec{x}_o = r_1 \vec{x}_1 + (\lambda + \mu) \vec{x}_2$$

### B.1.11 relation entre $\alpha$ et $\theta$

$$\vec{x}_1 = \cos \alpha \vec{x}_o + \sin \alpha \vec{y}_o$$

$$\vec{x}_2 = \cos \theta \vec{x}_o - \sin \theta \vec{y}_o$$

$$(L_o - d) \vec{x}_o = [r_1 \cos \alpha + (\lambda + \mu) \cos \theta] \vec{x}_o + [r_1 \sin \alpha - (\lambda + \mu) \sin \theta] \vec{y}_o$$

$$L_o - d = r_1 \cos \alpha + (\lambda + \mu) \cos \theta$$

$$\Rightarrow \left\{ \begin{array}{l} 0 = r_1 \sin \alpha - (\lambda + \mu) \sin \theta \end{array} \right.$$

$$\Rightarrow \tan \theta = \frac{r_1 \sin \alpha}{L_o - d - r_1 \cos \alpha}$$

### B.1.12 Fermeture de la chaîne 0340

$$\vec{HD} = \vec{HC} + \vec{CD}$$

$$d \vec{x}_o = (L_3 - \mu) \vec{x}_2 + r_4 \vec{x}_4$$

### B.1.13 relation entre $\varphi$ et $\theta$

$$d = (L_3 - \mu) \cos \theta + r_4 \cos \varphi \quad \Rightarrow \tan \theta = \frac{r_4 \sin \varphi}{d - r_4 \cos \varphi}$$

$$0 = r_4 \sin \varphi - (L_3 - \mu) \sin \theta$$

### B.1.14 Loi entrée / sortie

$$\frac{r_1 \sin \alpha}{L_o - d - r_1 \cos \alpha} = \frac{r_4 \sin \varphi}{d - r_4 \cos \varphi}$$

### B.1.15 Valeurs particulières de $\varphi$

$$\alpha = \frac{\pi}{2} \quad \frac{r_4 \sin \varphi_1}{d - r_4 \cos \varphi_1} = \frac{r_1}{L_o - d}$$

$$\alpha = -\frac{\pi}{2} \quad \frac{r_4 \sin \varphi_2}{d - r_4 \cos \varphi_2} = -\frac{r_1}{L_o - d}$$

### B.1.16 Vitesse angulaire de (4) par rapport à (0)

La loi entrée sortie s'écrit:

$$(d - r_4 \cos \varphi) r_1 \sin \alpha = (L_o - d - r_1 \cos \alpha) r_4 \sin \varphi$$

La dérivation donne:

$$r_1 w \cos \alpha (d - r_4 \cos \varphi) + r_1 r_4 \dot{\varphi} \sin \varphi \sin \alpha =$$

$$r_4 \dot{\varphi} \cos \varphi (L_o - d - r_1 \cos \alpha) + r_1 r_4 w \sin \alpha \sin \varphi$$

$$\text{à } \alpha = \frac{\pi}{2} \text{ on a } \varphi = \varphi_1 \text{ et } \dot{\varphi} = \dot{\varphi}_1$$

$$\text{avec } \dot{\varphi}_1 = \frac{r_1 w \sin \varphi_1}{r_1 \sin \varphi_1 - (L_o - d) \cos \varphi_1}$$

$$\text{à } \alpha = -\frac{\pi}{2} \text{ on a } \varphi = \varphi_2 \text{ et } \dot{\varphi} = \dot{\varphi}_2 \text{ avec}$$

$$\dot{\varphi}_2 = \frac{r_1 w \sin \varphi_2}{r_1 \sin \varphi_2 + (L_o - d) \cos \varphi_2}$$

## B.2 Etude du dispositif de tamisage

### B.2.1 Vitesses de P et Q

$$\vec{v}_{P \in 4/0} = \vec{v}_{D/0} + \vec{\omega}_{4/0} \wedge \vec{DP}$$

$$= \vec{0} + \dot{\varphi} \vec{z}_0 \wedge (-L_4 \vec{y}_4) = L_4 \dot{\varphi} \vec{x}_4$$

$$\vec{v}_{Q \in 9/0} = \vec{v}_{N/0} + \dot{\varphi} \vec{z}_0 \wedge (-L_4 \vec{y}_4) = L_4 \dot{\varphi} \vec{x}_4$$

### B.2.2 Vecteur rotation de la traverse.

P et  $\dot{\varphi} \in S$

$$\vec{v}_{P \in 4/0} = \vec{v}_{(P \in S/0)} \text{ et } \vec{v}_{(Q \in 9/0)} = \vec{v}_{(Q \in S/0)}$$

on montre que  $\vec{v}_{(P \in S/0)} = \vec{v}_{(Q \in S/0)}$

(S) décrit une translation circulaire  $\Rightarrow \vec{\omega}_S = \vec{0}$

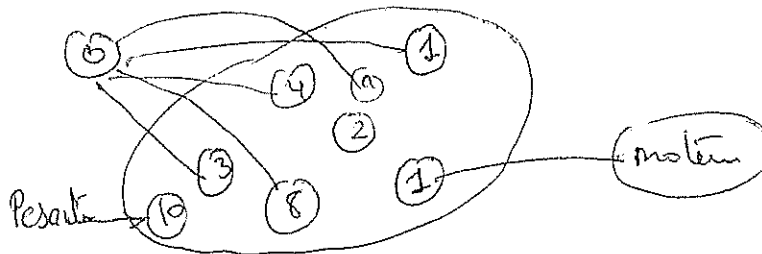
### B.2.3 Energie cinétique

$$E_c(S/0) = \frac{1}{2} M \vec{v}_{G/0}^2$$

$$\begin{aligned} \vec{v}_{G/0} &= \left. \frac{d \vec{DG}}{dt} \right|_{R_0} = \left. \frac{d \vec{DP}}{dt} \right|_{R_0} + \left. \frac{d \vec{PG}}{dt} \right|_{R_0} \\ &= L_4 \dot{\varphi} \vec{x}_4 + \dot{\gamma} \vec{x}_6 \end{aligned}$$

$$E_c(S/0) = \frac{1}{2} M \left[ L_4^2 \dot{\varphi}^2 + \dot{\gamma}^2 + 2 L_4 \dot{\varphi} \dot{\gamma} \cos \varphi \right]$$

### B.2.4 Inventaire des actuels appliqués à (S)



$$\bar{S} = \{ \text{moteur}, \text{terre}, \text{bati} \}$$

$$\left\{ \begin{array}{c} \mathcal{E}_{0 \rightarrow 1} \\ 0 \end{array} \right\} = \left\{ \begin{array}{c|c} x_{01} & L_{01} \\ y_{01} & M_{01} \\ z_{01} & 0 \end{array} \right\}$$

$$\left\{ \begin{array}{c} \mathcal{E}_{0 \rightarrow 4} \\ 0 \end{array} \right\} = \left\{ \begin{array}{c|c} x_{04} & L_{04} \\ y_{04} & M_{04} \\ z_{04} & 0 \end{array} \right\}$$

$$\left\{ \begin{array}{c} \mathcal{E}_{0 \rightarrow 3} \\ 0 \end{array} \right\} = \left\{ \begin{array}{c|c} 0 & 0 \\ y_{03} & M_{03} \\ z_{03} & 0 \end{array} \right\}$$

$$\left\{ \begin{array}{c} \mathcal{E}_{\text{terre} \rightarrow 10} \\ G \end{array} \right\} = \left\{ \begin{array}{c|c} 0 & 0 \\ 0 & 0 \\ 0 & 0 \end{array} \right\}$$

$$\left\{ \begin{array}{c} \mathcal{E}_{\text{mat} \rightarrow 4} \\ 0 \end{array} \right\} = \left\{ \begin{array}{c|c} 0 & 0 \\ 0 & 0 \\ 0 & 0 \end{array} \right\}$$

### B.2.5 Puissances des actions

- $\mathcal{P}_m(\text{moteur} \rightarrow 1) = C_m \dot{\alpha} = C_m \omega$
- $\mathcal{P}_10(\text{terre} \rightarrow 10) = \vec{P}_{10} \cdot \vec{V}_{G/10}$   
 $= - Mg \vec{Y}_0 \cdot (\vec{L}_4 \vec{g} \vec{x}_4 + \vec{y} \vec{x}_0)$   
 $= - Mg L_4 \vec{g} \sin \varphi$

- $P_{\text{int}} = 0$  (liaison parfaite)

### B.2.6 Théorème de l'énergie cinétique

$$\frac{dE_C(S/0)}{dt} = C_m \dot{\alpha} - Mg L_4 \vec{g} \sin \varphi$$

$$\frac{dE_C(S/0)}{dt} = ML_4^2 \ddot{\varphi} \ddot{\varphi} + M \ddot{\varphi} \ddot{\varphi} + ML_4 \ddot{\varphi} \ddot{\varphi} \cos \varphi +$$

$$ML_4 \ddot{\varphi} \ddot{\varphi} \cos \varphi - ML_4 \ddot{\varphi}^2 \ddot{\varphi} \sin \varphi$$

B.2.6 Cas où (10) est immobile % a(8)

$$\gamma = \text{cte}, \quad \dot{\gamma} = 0, \quad \ddot{\gamma} = 0$$

$$ML_4^2 \ddot{\varphi} \ddot{\varphi} = C_m w - Mg L_4 \dot{\varphi} \sin \varphi$$

B.2.7 Cas où (10) se translate avec  $\dot{\gamma} = V_0$

$$\dot{\gamma} = V_0; \quad \ddot{\gamma} = 0$$

$$ML_4^2 \ddot{\varphi} \ddot{\varphi} + ML_4 \ddot{\varphi} V_0 \cos \varphi - ML_4 \dot{\varphi}^2 V_0 \sin \varphi = \\ C_m w - Mg L_4 \dot{\varphi} \sin \varphi$$

B.2.8 Couple moteur  $\bar{\alpha} \alpha = \frac{\pi}{2}$

Calcul de l'accélération  $\ddot{\varphi}$  par dérivation de la

relation obtenue à B.1.16

$$-r_1 \omega^2 \sin \alpha (d - r_4 \cos \varphi) + r_1 r_4 \omega \dot{\varphi} \cos \alpha \sin \varphi + r_1 r_4 \dot{\varphi}^2 \sin \varphi \sin \alpha + \\ r_1 r_4 \dot{\varphi}^2 \cos \varphi \sin \alpha + r_1 r_4 \dot{\varphi} \omega \sin \varphi \cos \alpha = r_4 \dot{\varphi} \cos \varphi (L_0 - d - r_1 \cos \alpha) - \\ r_4 \dot{\varphi}^2 \sin \varphi (L_0 - d - r_1 \cos \alpha) + r_1 r_4 \omega \dot{\varphi} \cos \varphi \sin \alpha + \\ r_1 r_4 \omega^2 \cos \alpha \sin \varphi + r_1 r_4 \omega \dot{\varphi} \sin \alpha \cos \varphi$$

Pour  $\alpha = \frac{\pi}{2}$  on obtient  $\varphi = \varphi_1$ ;  $\dot{\varphi} = \dot{\varphi}_1$  et

la relation devient:

$$-r_1 \omega^2 (d - r_4 \cos \varphi_1) + r_1 r_4 \dot{\varphi}_1^2 \sin \varphi_1 + r_1 r_4 \dot{\varphi}_1^2 \cos \varphi_1 = \\ r_4 (L_0 - d) \dot{\varphi}_1 \cos \varphi_1 - r_4 (L_0 - d) \dot{\varphi}_1^2 \sin \varphi_1 + 2r_1 r_4 \dot{\varphi}_1 \omega \cos \varphi_1$$

tour calcul fait on obtient:

$$\ddot{\varphi}_1 = \frac{r_1 r_u \dot{\varphi}_1 (2\omega - \dot{\varphi}_1) \cos \varphi_1 + r_1 \omega^2 (d - r_u \cos \varphi_1) - r_u (L_o - d) \dot{\varphi}_1^2 \sin \varphi_1}{r_1 [\dot{r}_1 \sin \varphi_1 - (L_o - d) \cos \varphi_1]}$$

on peut la mettre sous la forme:

$$\ddot{\varphi} = \frac{\dot{\varphi}_1^2 (2\omega - \dot{\varphi}_1)}{\omega} \cos \varphi_1 + \frac{\omega \dot{\varphi}_1 (d - r_u \cos \varphi_1)}{r_1 \sin \varphi_1} -$$
$$\frac{(L_o - d) \dot{\varphi}_1^3}{r_1 \omega}$$

Expression du Couple:

Cas I :  $C_m = M L_u r_1 \frac{\sin \varphi_1}{r_1 \sin \varphi_1 - (L_o - d) \cos \varphi_1} \cdot (L_u \dot{\varphi}_1 + g \sin \varphi_1)$

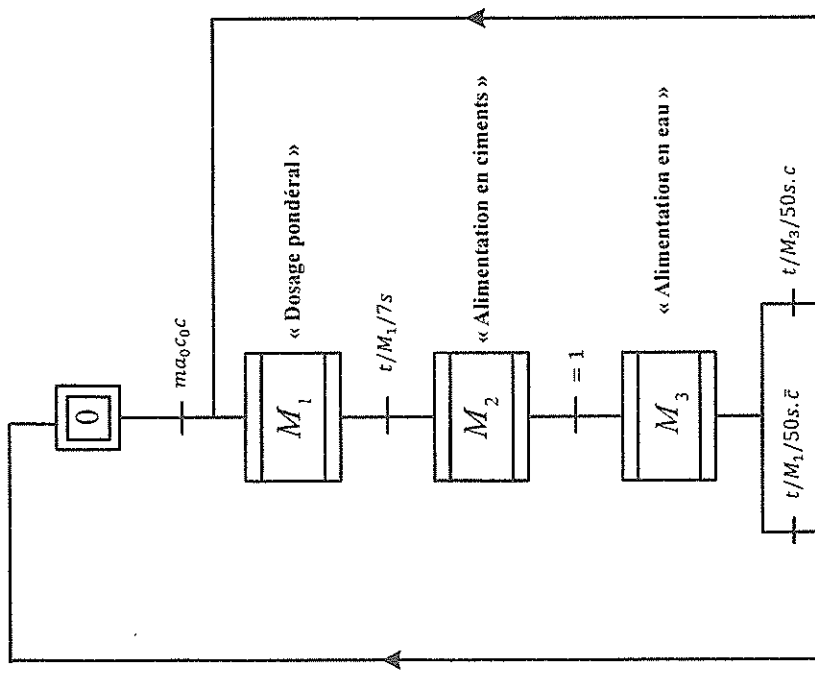
Cas II :  $C_m = M L_u r_1 (L_u \dot{\varphi}_1 + g \sin \varphi_1) \cdot \frac{\sin \varphi_1}{r_1 \sin \varphi_1 - (L_o - d) \cos \varphi_1} +$

$$\frac{M L_u V_o}{\omega} \left[ \dot{\varphi} \cos \varphi_1 - \frac{r_1^2 \sin \varphi_1^3}{(r_1 \sin \varphi_1 - (L_o - d) \cos \varphi_1)^2} \right]$$

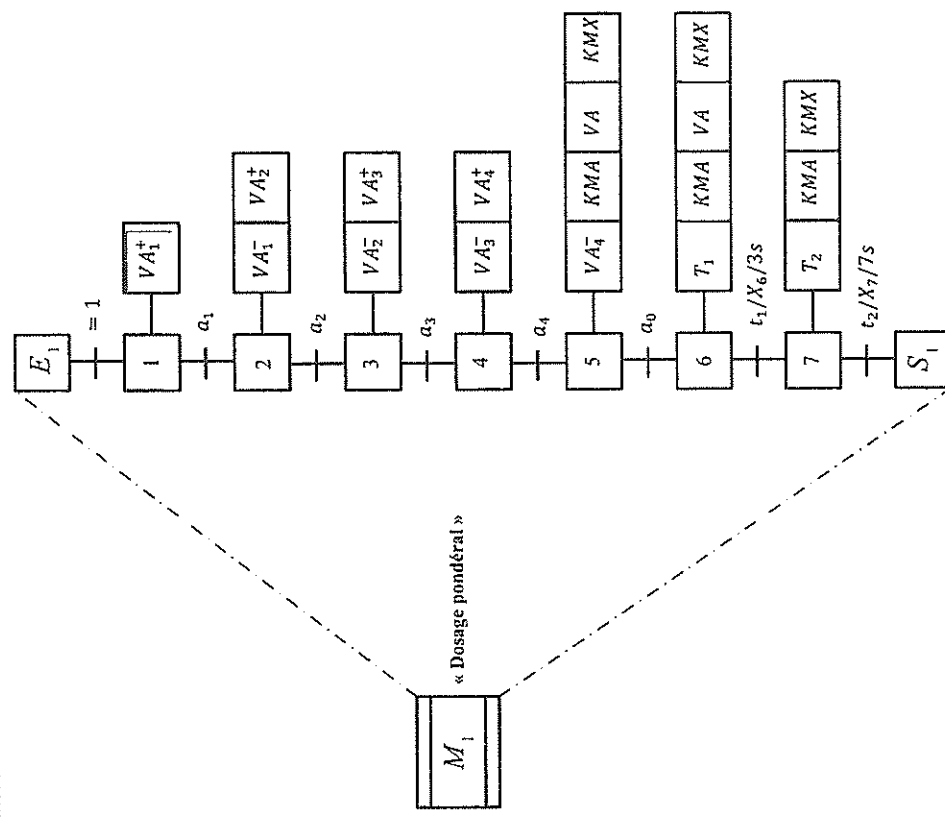
Pour déterminer  $C_m$  on remplace  $\dot{\varphi}$  par son expression.

**PARTIE D : AUTOMATIQUE****D.1- Commande séquentielle d'une centrale à béton**

D.1.1- Compléter le Graftet suivant, décrivant le fonctionnement de la centrale à béton



Graftet du point de vue commandé décrivant le fonctionnement de la centrale à béton.

D.1.2- Compléter l'expansion de la macro-étape M<sub>1</sub> « Dosage pondéral » dont la structure est donnée par le modèle suivant :Expansion de la macro-étape M<sub>1</sub> « Dosage pondéral »

Dans la suite, on choisira  $K' = 0,45K$

D.2.5.- Sachant que la fonction de transfert du régulateur est  $R(p) = K$  :

D.2.5.1- Quelle est la condition que doit satisfaire  $K = f(K', \tau_e, \tau_m)$  assurant stabilité du système en boucle fermée :

L'E.C. du système est :

$$\begin{aligned} & - 1^{\text{re}} \text{ condition} \Rightarrow K > 0 \\ & - 2^{\text{me}} \text{ condition:} \end{aligned}$$

$p^3$	$\tau_e \tau_m p^3 + (\tau_e + \tau_m)p^2 + p + 0,45K = 0$
$p^2$	$\tau_e \tau_m$
$p^1$	$1 - \frac{\tau_e \tau_m}{\tau_e + \tau_m} 0,45K$
$p^0$	$0,45K$

Faire l'application numérique :

$0 < K < 150,92$
------------------

D.2.5.2- Déterminer les erreurs statiques de position  $\varepsilon_p$  et de vitesse  $\varepsilon_v$ , pour des consignes respectivement d'amplitude et de pente unitaires, en fonction de  $K$ .

La fonction de transfert en boucle ouverte est :

$$T(p) = \frac{0,45K}{p(1 + 0,015p)(1 + 0,826p)} \Rightarrow \text{système de classe 1}$$

L'erreur statique de position est donc

$\varepsilon_p = 0$
---------------------

L'erreur statique de position est donc

$\varepsilon_v = \frac{1}{0,45K}$
-----------------------------------

D.2.5.3- Est ce qu'on peut assurer une erreur statique de vitesse pour une consigne de pente unitaire inférieure à  $10^{-2}$ ? Justifier votre réponse.  
Si  $\varepsilon_v < 10^{-2}$  alors  $K > 222,22$  dans ce cas le système est tjs stable ( $K > 0$ ) ; donc

$K > 222,22$
--------------

Donc il est possible d'assurer une telle erreur

D.2.6.- On considère toujours  $R(p) = K$  tout en négligeant l'effet dété (c-à-d :  $\tau_e = 0$ ).

D.2.6.1- Etablir l'expression de la fonction de transfert du système en boucle fermée  $H_{BF}(p)$  en fonction de  $K$ ,  $K'$  et  $\tau_m$ .

$K > 150,92$
--------------

Impossible d'assurer une telle erreur

D.2.6.4- Est ce qu'on peut assurer une erreur statique de vitesse pour une consigne de pente unitaire inférieure à  $10^{-2}$ ? Justifier votre réponse.  
Si  $\varepsilon_v < 10^{-2}$  alors  $K > 222,22$  dans ce cas le système est tjs stable ( $K > 0$ ) ; donc

$$H_{BF}(p) = \frac{KK'}{p^2 + \tau_m p + KK'}$$

D'où :

$$H_{BF}(p) = \frac{KK'/\tau_m}{p^2 + \frac{1}{\tau_m} p + KK'/\tau_m} \Rightarrow \begin{cases} \omega_0^2 = KK'/\tau_m \\ K_s \omega_0^2 = KK'/\tau_m \\ 2m\omega_0 = \frac{1}{\tau_m} \end{cases}$$

En effet,

$$H_{BF}(p) = \frac{KK'/\tau_m}{p(1 + \tau_m p) + KK'}$$

donc

$K_s = 1$
-----------

$$\omega_0 = \sqrt{KK'/\tau_m}$$

$$m = 0,5 \sqrt{\frac{\tau_m}{KK'}}$$

Faire l'application numérique :

$H_{BF}(p) = \frac{0,45Kp^2 + p + 0,45K}{p(1 + \tau_m p) + KK'}$
------------------------------------------------------------------

D.2.6.2- Pour quelles valeurs de  $K$ , le système est stable en boucle fermée

Système de second ordre :

$\text{Système stable} \Leftrightarrow K > 0$
-----------------------------------------------

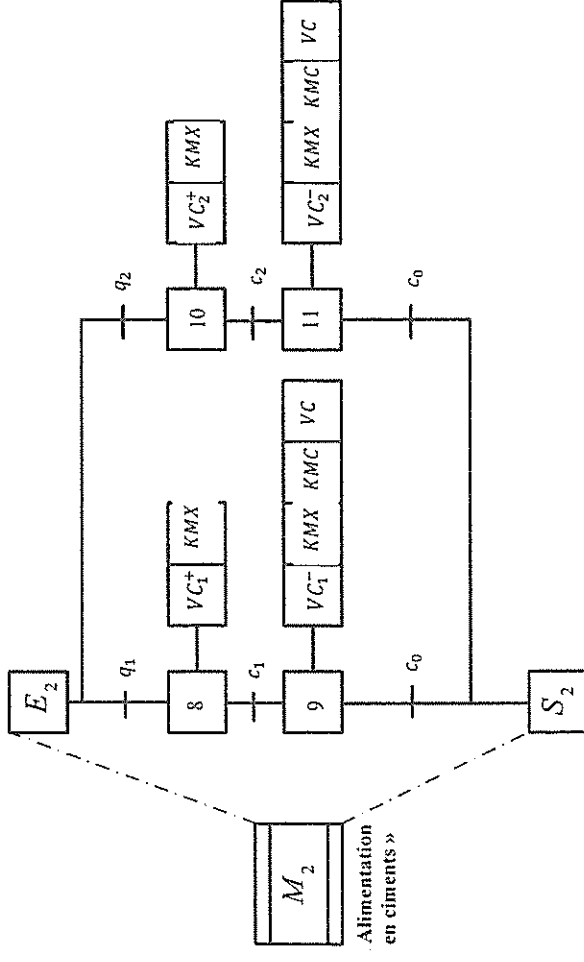
D.2.6.3- Déterminer les erreurs statiques de position  $\varepsilon_p$  et de vitesse  $\varepsilon_v$ , pour des consignes respectivement d'amplitude et de pente unitaires, en fonction de  $K$ . Fonction de transfert en boucle ouverte est  $T(p) = \frac{KK'}{p(1 + \tau_m p)}$   $\Rightarrow$  système de classe 1

$\varepsilon_p = 0$
---------------------

L'erreur statique de vitesse est  $\varepsilon_v = \frac{1}{0,45K}$

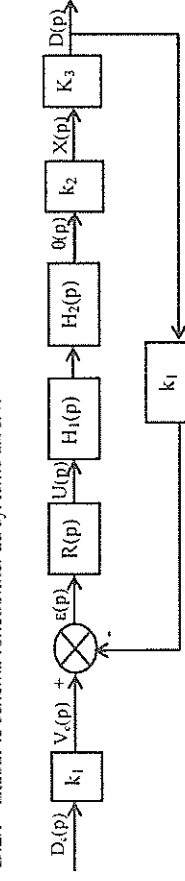
$\varepsilon_v = \frac{1}{0,45K}$
-----------------------------------

D.1.3. Compléter l'expansion de la macro-étape M<sub>2</sub> « Alimentation en ciment » dont la structure est donnée par le modèle suivant :



Expansion de la macro-étape M<sub>2</sub> « Alimentation en ciment »

D.2.1- Etablir le schéma fonctionnel du système asservi



D.2.2. Déterminer les fonctions de transfert H<sub>1</sub>(p) et H<sub>2</sub>(p)

1.a fonction H<sub>1</sub>(p) est de la forme  $\frac{K}{1+Tp}$

$$\text{20log}(K) \approx -3,125dB \Rightarrow K = 0.7$$

- La pulsation de coupure est  $\omega_c \approx 70 rad/s \Rightarrow \tau = \frac{1}{\omega_c} = 0,015 s$  d'où

$$H_1(p) = \frac{0,7}{1 + 0,015p}$$

La fonction H<sub>2</sub>(p) est la transformée de Laplace de  $\theta(t) = 1 - e^{-\frac{t}{\tau_m}}$  ; d'où  $H_2(p) = \frac{1}{p} - \frac{1}{p+\frac{1}{\tau_m}} = \frac{1}{p(1+\tau_m p)}$  qui est la forme de la réponse instancielle unitaire d'un système de premier ordre de gain 1 et de constante de temps  $\tau_m$ . Sachant que  $0,63\theta(\infty) = \theta(\tau_m) \Rightarrow \tau_m = 0,826 s$

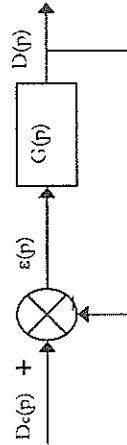
$$H_2(p) = \frac{1}{p(1 + 0,826p)}$$

D.2.3- Mettre la fonction de transfert du motoréducteur sous la forme :

$$H(p) = \frac{\theta(p)}{U(p)} = \frac{K_m}{p(1+\tau_r p)(1+\tau_m p)}$$

$$H(p) = H_1(p)H_2(p) = \frac{0,7}{(1+0,015p)} \frac{1}{p(1+0,826p)} \Rightarrow H(p) = \frac{0,7}{p(1+0,015p)(1+0,826p)}$$

D.2.4- Simplifier le schéma fonctionnel de la question D2.1 en le mettant sous la forme suivante :



$$\text{Avec : } G(p) = \frac{R(p)K'}{p(1+\tau_r p)(1+\tau_m p)}$$

Le schéma de la figure D2.1, peut se mettre sous la forme suivante :

$$D(p) + \text{---} \xrightarrow{G(p)} \text{---} \xrightarrow{R(p)0,7k_1k_2k_3} \text{---} \xrightarrow{D(p)}$$

$$G(p) = \frac{R(p)0,7k_1k_2k_3}{p(1+0,015p)(1+0,826p)}$$

En déduire la valeur de K' sa :

$$k_1 = 0,5 \text{ V.s/Kg}, k_2 = 6 10^2 \text{ m/rad}, k_3 = 15 10^3 \text{ Kg/m.s}; \tau_r = 0,015 \text{ s et } \tau_m = 0,8 \text{ s}$$

$$K' = 31,5 \cdot 10^{-4}$$

D.2.6.6- Calculer la valeur de K, pour avoir une marge de phase de  $M_\phi=45^\circ$ . En déduire le coefficient d'amortissement m et la pulsation propre non amortie  $\omega_0$ . Quelle est la marge de gain  $M_G$  du système ? La marge de phase est définie par :

$$M_\phi = \pi + \arg(T(j\omega_A)) \text{ avec } \omega_A \text{ est telle que } |T(j\omega_A)| = 1 \text{ sachant que } T(p) = \frac{0,45K}{p(1+0,8p)}$$

$$M_\phi = \pi + \arg(T(j\omega_A)) \Rightarrow \frac{\pi}{4} = \pi - \frac{\pi}{2} - \arctg(0,8\omega_A) \Rightarrow \arctg(0,8\omega_A) = \frac{\pi}{4} \Rightarrow \omega_A = 1,25 \text{ rad/s}$$

$$\text{Or } |T(j\omega_A)| = 1 = \frac{0,45K}{\omega_A \sqrt{1+0,64\omega_A^2}} \Rightarrow K = 3,92$$

$K=1$	$\omega_0 = 1,48 \text{ rad/s}$
$MG = \infty$	

$m = 0,33$
------------